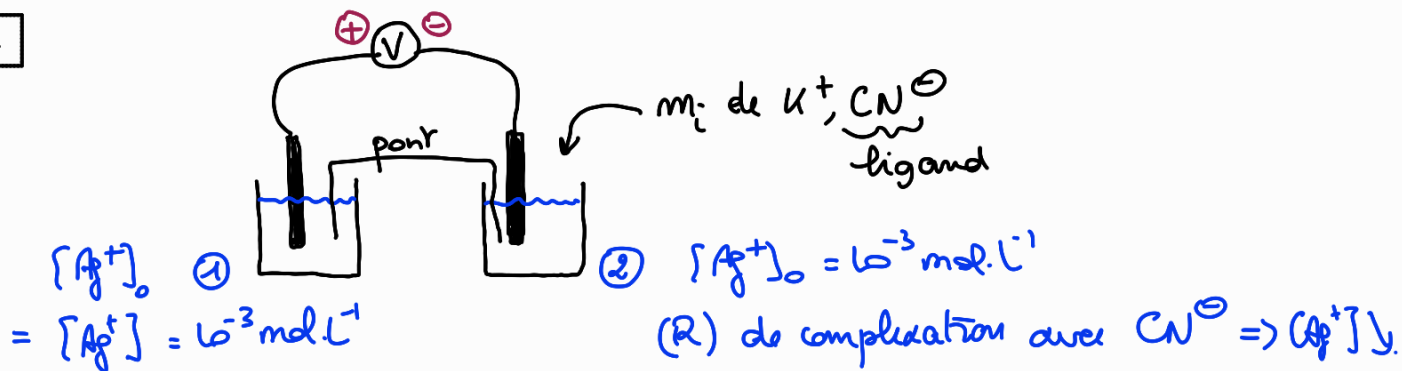
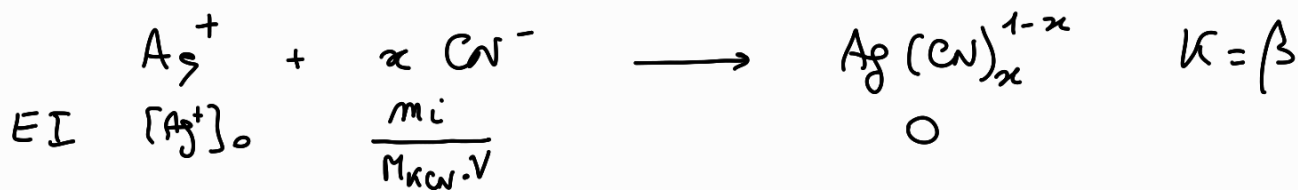


I EXPLOITATION d'UNE PILE de CONCENTRATION

1-



2-



$$EF_{\text{éq}} \quad \left. \begin{array}{l} \text{[Ag}^+]_0 - \\ = \text{[Ag}^+]_0 \end{array} \right\} \quad \left. \begin{array}{l} \frac{m_i}{M_{\text{KCN}} \cdot V} - \\ x \cdot \end{array} \right\} \quad \left. \begin{array}{l} \\ \\ \end{array} \right\} \quad \text{en mol.L}^{-1}$$

À l'équilibre dans le compartiment ② : $K = Q$

$$\Leftrightarrow \beta = \frac{x}{[\text{Ag}^+]_0 \cdot \left(\frac{m_i}{M_{\text{KCN}} \cdot V} - x \right)^x}$$

Hypothèse simplificatrice ① : $\text{KCN en excès} \Rightarrow x \ll \frac{m_i}{M_{\text{KCN}} \cdot V}$

$$\text{Par exemple } m_i = 0,1 \text{ g} \Rightarrow \frac{m_i}{M_{\text{KCN}} \cdot V} = \frac{0,1}{65,1 \times 50 \cdot 10^{-3}} = 0,03 \text{ mol.L}^{-1}$$

$$\text{Or } [\text{Ag}^+]_0 = 10^{-3} \text{ mol.L}^{-1} \ll 3 \cdot 10^{-2} \text{ mol.L}^{-1}$$

Toutes les autres valeurs de m_i étant supérieures \Rightarrow dans tous les cas, $x \ll [\text{Ag}^+]_0 \ll \frac{m_i}{M_{\text{KCN}} \cdot V} \Rightarrow x \cdot \ll \frac{m_i}{M_{\text{KCN}} \cdot V}$

Hypothèse simplificatrice ② : $\text{CN}^- \text{ en excès} \Rightarrow \text{réaction quasi totale}$

$$\Rightarrow x_{\text{éq}} \approx [\text{Ag}^+]_0 = 6$$

$$\Rightarrow \beta \approx \frac{C}{[\text{Ag}^+]^2 \cdot \left(\frac{m_i}{M_{\text{KCN}} \cdot V} \right)^x} \Rightarrow [\text{Ag}^+]^2 \approx \frac{C}{\beta \cdot \left(\frac{m_i}{M_{\text{KCN}} \cdot V} \right)^x}$$

3- $\text{ddp} = E_\oplus - E_\ominus = E_{\text{Ag}^+/\text{Ag}}^{(1)} - E_{\text{Ag}^+/\text{Ag}}^{(2)}$



$$E_{\text{Ag}^+/\text{Ag}}^{(1)} = E_{\text{Ag}^+/\text{Ag}}^{\circ} + 0,06 \log [\text{Ag}^+]^{(1)} = E_{\text{Ag}^+/\text{Ag}}^{\circ} + 0,06 \log \cancel{6}$$

$$E_{\text{Ag}^+/\text{Ag}}^{(2)} = E_{\text{Ag}^+/\text{Ag}}^{\circ} + 0,06 \log [\text{Ag}^+]^{(2)} = E_{\text{Ag}^+/\text{Ag}}^{\circ} + 0,06 \log \frac{C}{\beta \cdot \left(\frac{m_i}{M_{\text{KCN}} \cdot V} \right)^x}$$

$$\Rightarrow \text{ddp} = 0,06 \cdot \log \beta \cdot \left(\frac{m_i}{M_{\text{KCN}} \cdot V} \right)^x$$

4- $\Rightarrow \underbrace{\frac{\text{ddp}}{0,06}}_y = \log \beta + x \cdot \log \underbrace{\frac{m_i}{M_{\text{KCN}} \cdot V}}_x$
 ↓
 donne pente a
 b.
 à l'origine

On tracera donc $\frac{\text{ddp}}{0,06}$ en fonction de $\log \frac{m_i}{M_{\text{KCN}} \cdot V}$

ddp	1,08	1,17	1,21	1,24	1,26	
$\frac{\text{ddp}}{0,06}$	18	19,5	20,17	20,67	21	→ y
m_i	0,1	0,5	1	2	3	
$\log \frac{m_i}{65,1 \times 0,05}$	-1,51	-0,81	-0,51	-0,21	-0,035	→ x

Tracé de y en fonction de x $\Rightarrow a = 2,04 \Leftrightarrow x = 2$

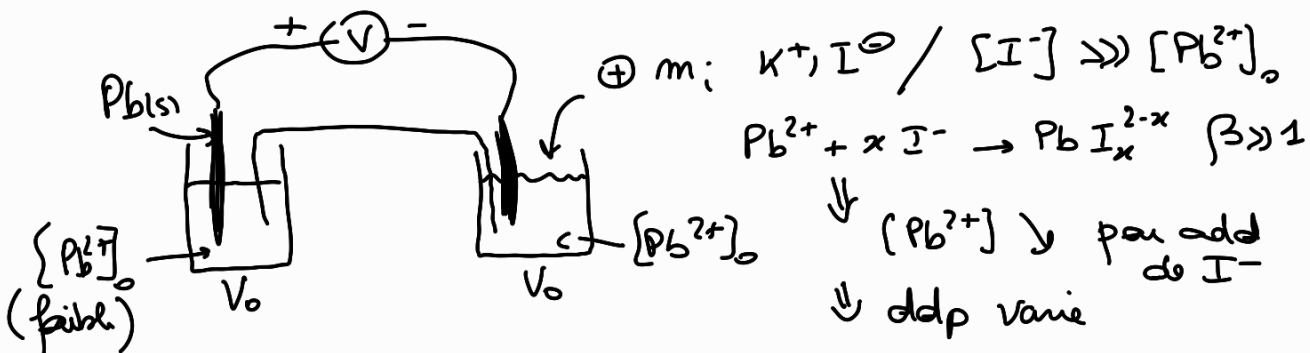
$$b = 21,1 \Leftrightarrow \beta = 10^{21}$$

($r^2 = 0,999$, pts aléatoires autour de la droite).

5- Pour déterminer la stoechiométrie d'un complexe et sa constante de formation (supposée $\gg 1$), il faut :

- * créer une pile du couple $M^{n+}/M(s)$, avec 2 compartiments identiques au départ
 - * ajouter UN EXCÈS de ligand, en quantité variable dans un compartiment et mesurer le ferm de cette pile
 - * Tracer $\frac{ddp}{0,03/V_0}$ en fonction de $\log [\text{ligand ajouté}]$
- \Rightarrow pente = stoechiométrie de L
 $\text{OO} = \log \beta$.

Exemple



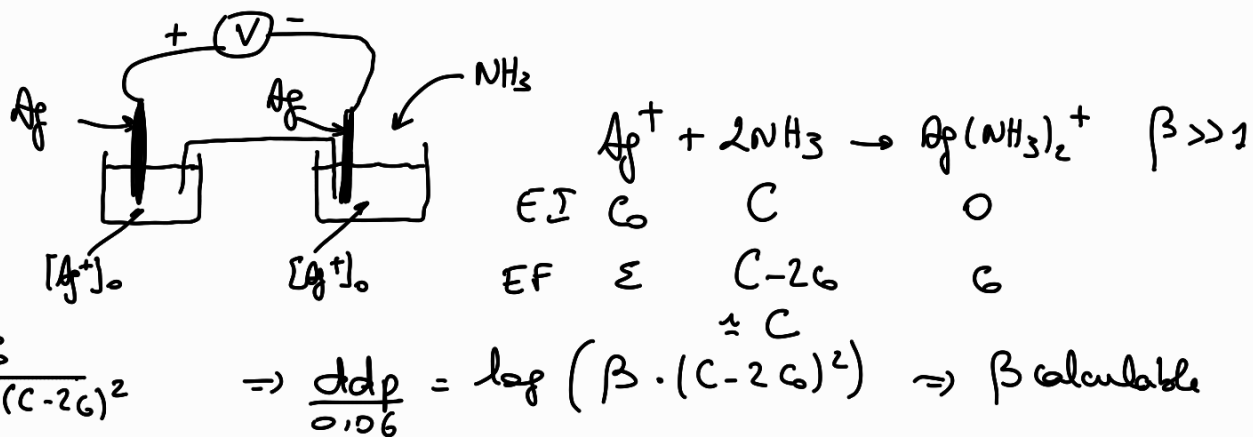
mesure ddp à chaque ajout de mi:

→ Tracer $\frac{ddp}{0,03} = \log \left(\frac{m_i}{n_{KI} \cdot V_0} \right) \Rightarrow \begin{cases} \text{pente} = x \\ \text{OO} = \log \beta (PbI_x^{2-x}) \end{cases}$

Pour aller plus loin

Une seule mesure du ddp, après un seul ajout de ligand, permet de déterminer β , moyennant la connaissance de la stoechiométrie du complexe.

Exemple

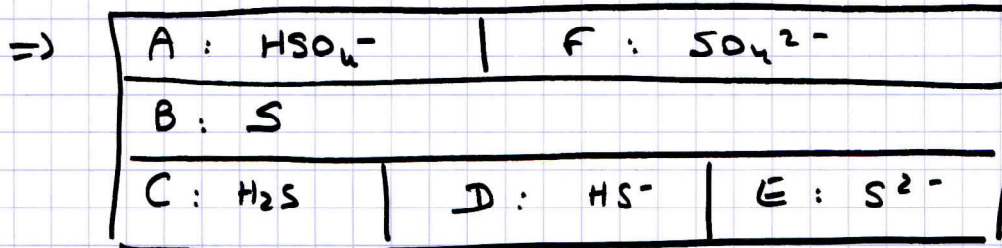
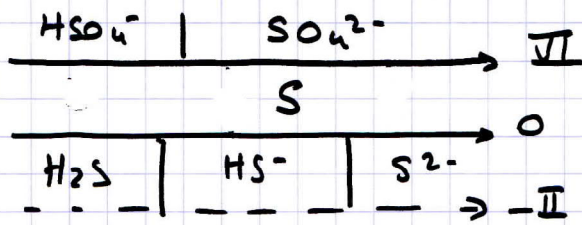


II LE SODIUM METALLIQUE

Utilisation du sodium métallique

<u>Q1</u>	Espaces :	S	HSO_4^-	SO_4^{2-}	H_2S	HS^-	S^{2-}
	NO :	O	+VI	+VI	-II	-II	-II.
		Aude	base	aude	ampholyte	base	

done



Q.2 $\alpha : (1,8 ; 0,3 \text{ V})$

et à la fois caractéristique des équilibres redox entre A/B et F/B
et de l'équilibre A/B entre A / F.

Équilibre A/B entre A et F: $\text{HSO}_4^- = \text{H}^+ + \text{SO}_4^{2-} \quad K = K_A$.

$$\text{Sur la frontière } [\text{HSO}_4^-] = [\text{SO}_4^{2-}] \Rightarrow \text{pH} = \boxed{\text{p}K_A = 1,8}$$

$$\text{ou } \boxed{K_A = 10^{-1,8}}$$

Équilibre redox entre F et B: $\text{SO}_4^{2-} + 8\text{H}^+ + 6e^- = \text{S} + 4\text{H}_2\text{O}$

$$\Rightarrow E_N = E_{\text{SO}_4^{2-}/\text{S}}^\circ + \frac{0,06}{6} \log \frac{[\text{SO}_4^{2-}][\text{H}^+]}{1}$$

À la frontière $[\text{SO}_4^{2-}]_f = 0,1 \text{ mol.l}^{-1}$ (voir graphique, légende).

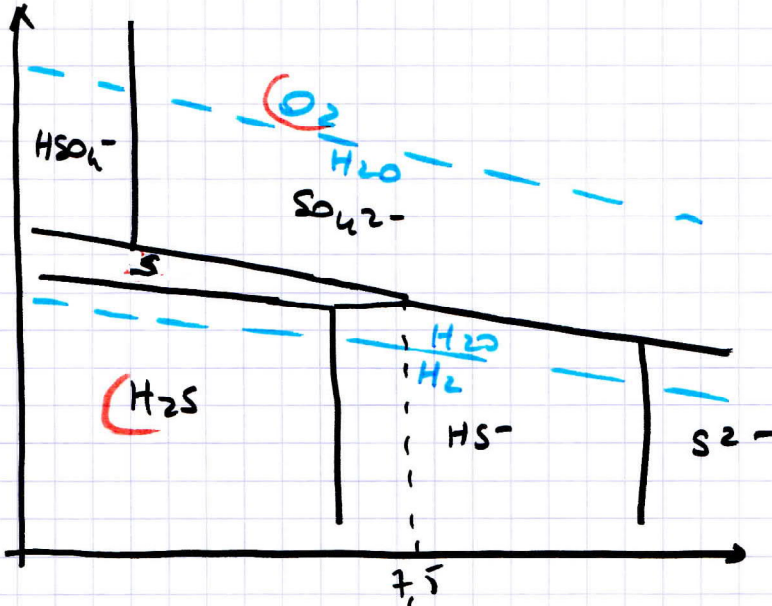
$$\text{et } \text{pH} = 1,8 \quad E_{fr} = 0,3 \text{ V}$$

$$\text{donc } E_{fr} = E_{\text{SO}_4^{2-}/\text{S}}^\circ + 0,01 \log 0,1 \cdot (10^{-1,8})^8$$

$$\Rightarrow \boxed{E_{\text{SO}_4^{2-}/\text{S}}^\circ = 0,3 - 0,01 \log 10^{-15,4} = 0,454 \text{ V}}$$

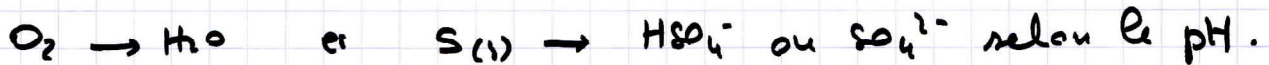
- [Q3]** Ces frontières sont relatives aux couples de l'eau :
- Couple de l'oxygène dans l'eau : O_2 / H_2O : $E_f = 1,23 - 0,06 \text{ pH}$
- Couple de l'hydrogène dans l'eau : H_2O / H_2 : $E_f = - 0,06 \text{ pH}$

Reproduisons le diagramme E / pH .



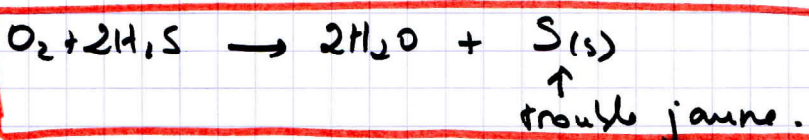
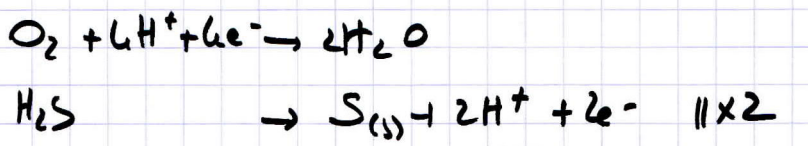
l'air apporté O_2
les O_2 et H_2 ont des domaines
disjoints :
donc O_2 oxydant n'agit
du pignon totale avec H_2S
réducteur
 $O_2 \rightarrow H_2O$
 $H_2 \rightarrow S_{\text{solide jaune}}$.
 troublé

- Toujours $S(s)$ et O_2 ont aussi des domaines disjoints, donc O_2 oxydant devant oxyder $S(s)$ réducteur



Cette réaction redox est normalement lente puisque la disparition passe mal pas observée (blockage cinétique).

Écrivons la réaction d'oxydation du H_2S par O_2 observée :

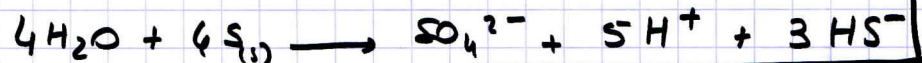
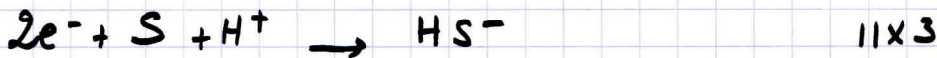
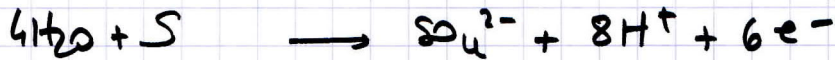


- [Q4]** S présente un domaine commun avec H_2O jusqu'à $\text{pH} = 7,5$
 - il est donc stable dans l'eau en milieu acide ou neutre, en absence de O_2 ou H_2 .

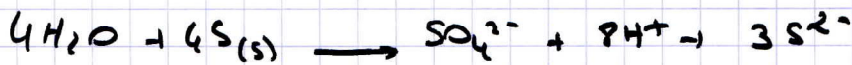
Q5

Pour addition du soude, à partir du pH = 7,5, le soufre se dissout dans l'eau

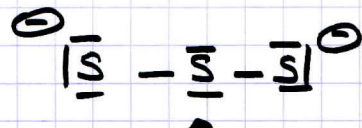
Réaction de dismutation (jusqu'à pH = 12,9).



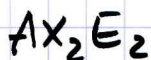
(Au delà du pH = 12,9)



Q6



(S a 6e⁻ de valence, comme O).



=> Basé sur la géométrie tétraédrique : $\angle 109^\circ / \text{S} \text{---} \text{S} \text{---} \text{S}$

molécule courbée, avec $\alpha < 109^\circ$

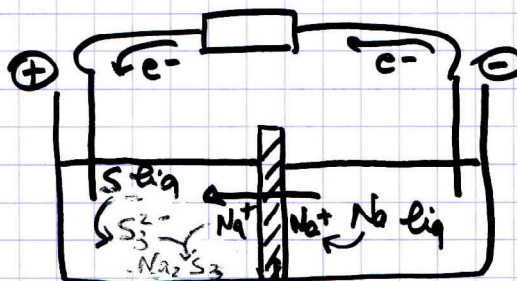
Q7

Lecture du document => "S et Na $\rightarrow \text{Na}_2\text{S}_3$ ($\Rightarrow 2\text{Na}^+ + \text{S}_3^{2-}$)"
"Na⁺ traverse la membrane"

Donc les couples en jeu sont formellement. Na⁺/Na
et Na₂S₃/S

Na $\rightarrow \text{Na}^+ + \text{e}^-$: les e⁻ quittent le sodium : ie pôle \ominus

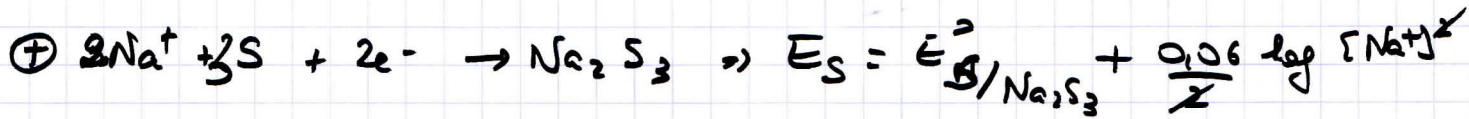
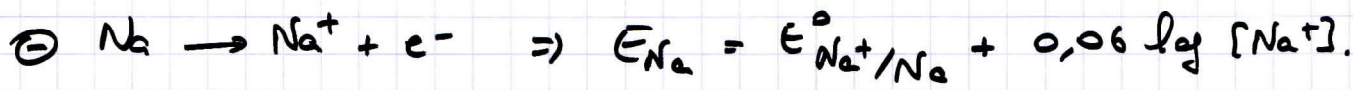
2e⁻ + 3 S + 2Na⁺ $\rightarrow \text{Na}_2\text{S}_3$: le e⁻ arrivent du côté du soufre : pôle \oplus



(1) oxyde d'aluminium traversé par Na⁺

Q.8

$$f_{\text{ern}} = E_{\oplus} - E_{\ominus} = E_s - E_{Na}$$



$$\Rightarrow E_{\oplus} - E_{\ominus} = E_s - E_{Na} = E_{S/Na_2S_3}^\circ - E_{Na^+/Na}^\circ + 0,06 \log [Na^+]^2 - 0,06 \log [Na^+]^2$$

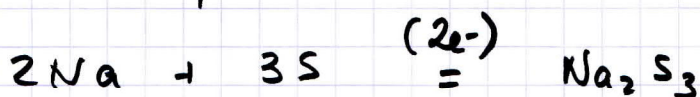
donc $f_{\text{ern}} = E_{S/Na_2S_3}^\circ - E_{Na^+/Na}^\circ$ CQFD.

Document : $f_{\text{ern}} \approx 1,65V$

donc on a $E_{Na^+/Na}^\circ \approx -2,71V$ (Na^+ q = approximatif).

$$\Rightarrow E_{S/Na_2S_3}^\circ = 1,65 - 2,71V = -1,06V.$$

Q.9 Réaction du fonctionnement de la pile :



E_I N_{Na} N_S

EF $\frac{N_{Na}-2\varphi}{=0}$ $\frac{N_S-3\varphi}{=0}$ (2φ) φ

= Coulombs.

Capacité de la pile : $Q = 240 A.h = 240 \cdot 3600 \text{ A.s}$

soit $Q = 864000 C$

Gr cette charge est due au déplacement de 2φ mole d'électrons

$$\text{Soit } Q = 2\varphi \cdot 3\varphi \Rightarrow \varphi = \frac{Q}{2 \cdot 3\varphi} = \frac{864000}{2 \times 96500} = 4,48 \text{ mol.}$$

$$\Rightarrow N_{Na} = 2\varphi = 8,95 \text{ mol} \Rightarrow m_{Na} = 206 \text{ g minimum}$$

$$\Rightarrow N_S = 3\varphi = 13,43 \text{ mol} \Rightarrow m_S = 430 \text{ g minimum.}$$